

矿山测量计算讲义图集

苏联 弗·弗·巴甫洛夫等著

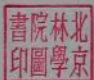
矿
山
测
量

煤炭工业出版社

14(3)
4·7-2

矿山測量計算諾謨圖集

苏联 弗·弗·巴甫洛夫 楠·耶·列維特著
李万鍾譯 孙起貴校訂



63947

煤炭工業出版社

PDG Ac555 / 67

第二章

本章将探讨如何通过分析和理解客户行为，来识别潜在的销售机会。我们将学习如何识别客户的需求、兴趣和痛点，并根据这些信息制定有效的销售策略。通过案例研究，我们将看到如何在实际销售场景中应用这些知识。

第一节

客户行为分析
客户行为分析是销售工作中的重要组成部分。通过分析客户行为，我们可以更好地了解客户的需求、兴趣和痛点，从而制定出更有效的销售策略。

客户行为分析方法

客户行为分析的方法有很多，以下是一些常见的方法：

1. 客户访谈：通过与客户进行面对面的交流，了解他们的需求、兴趣和痛点。

2. 客户观察：通过观察客户的行为，了解他们的需求、兴趣和痛点。

3. 客户数据分析：通过分析客户的数据，了解他们的需求、兴趣和痛点。

PDG

目 录

序 言	2
諸誤圖公式	3
諸誤圖說明	4
參考文獻	13
諸誤圖 1 根據三角測量規尺的高度進行兩三角點之間的 相互通視計算	14
諸誤圖 2 低級三角形的解算檢查	15
諸誤圖 3 Ⅲ級與低級三角網的重心點和偏心坐标的 歸心計算	16
諸誤圖 4 Ⅲ級與低級三角網由圓錐體化為投影平面時的 距離改正計算	17
諸誤圖 5 Ⅱ級與Ⅲ級三角網由圓錐體化為投影平面時， 大地線在平面上掃描曲率的改正計算	18
諸誤圖 6 低級三角網由圓錐體化為投影平面時，大地線 在平面上掃描曲率的改正計算	19
諸誤圖 7 低級三角網與多邊形導線網的午線收斂角計算	21
諸誤圖 8 按未有平差的各角計算三角網內之三角形的校倒數	21
諸誤圖 9 三角網內之三角形，大地測量四邊形和多邊中立形的 校倒數計算	22
諸誤圖 10 按間距測法進行三角網平差時， 原始方程式微分系數 α 与 β 之計算	23
諸誤圖 11 刻尺、卷尺及鋼尺長的溫度改正計算	24
諸誤圖 12 按測綫的始端和末端的高差進行測綫的 角度改正之計算	25
諸誤圖 13 懈角斜角進行測綫的傾斜改正之計算	26
諸誤圖 14 用視距尺施測的測綫水平距離之計算	27
諸誤圖 15 以鋼卷尺兩次丈量井下導線段導線邊長之間的 容許不等值之計算	28
諸誤圖 16 經緯仪導線和多邊形導線的角度極限閉合差之計算	29
諸誤圖 17 用反照法測水平角的誤差之計算	30
諸誤圖 18 用方向觀測法測水平角的誤差之計算	31
諸誤圖 19 由於儀器與規尺偏心而產生的水平角中誤差之計算	32
諸誤圖 20 由於儀器與規尺偏心而產生的水平角中誤差之計算	33
諸誤圖 21 由規尺標增量的檢查計算	34
諸誤圖 22 具有一个固定点和一个固定的座标方位角之伸 展多邊形導線的橫向位移計算	35
諸誤圖 23 具有两个固定点和起始座标方位角及末端座标方位角的 多邊形導線的橫向位移計算	37
諸誤圖 24 具有一个固定点和一个座标方位角的多邊形導線， 以及具有一个固定点和两个固定点的座标方位角之伸展	38
諸誤圖 25 具有起始固定点和末端固定点及一个座标方位角之 伸展多邊形導線的縱向位移計算	39
諸誤圖 26 諸誤圖 26+諸誤圖 26 多邊形導線點誤差	40-42
諸誤圖 27 諸誤圖 28 和諸誤圖 29 多邊形導線點誤差圓面的 半徑和短半軸之計算	43-45
諸誤圖 28 中误差由橫向位移值 δ 之計算	46
諸誤圖 31 距離測量時傾斜角由 0° 至 6° 的測綫之 高差的計算	47
諸誤圖 32 距離測量時傾斜角由 6° 至 25° 的測綫之高差的 計算	48
諸誤圖 33 按測綫的水平投影計算高差	49
諸誤圖 34 地球曲率和折光改正計算	50
諸誤圖 35 高程測量則容許閉合差和井深測量誤差之計算	51
諸誤圖 36 垂線投足之角度誤差計算	52
諸誤圖 37 和諸誤圖 37a 通過一個非定向時由於聯系三角形的 角度測量及長度丈量誤差所引起的 α 和 β 兩角 角法之計算	53-54
諸誤圖 38 由於聯系三角形的量長而引起 α 和 β 兩角誤差之 計算	55
諸誤圖 39 按聯系四邊形法被重複和定向基點之連接測量時 P_1P_2 线的座标方位角誤差之計算	56
諸誤圖 40 測量井深時刻尺由於自重而伸長之計算	57
諸誤圖 41 測量井深時刻尺由於荷重而伸長之計算	58
諸誤圖 42 用偏心裡傳導測量直角之改正計算	59
諸誤圖 43 煙管貫厚之計算	60
諸誤圖 44 用枳木偽量面積的誤差計算	61
諸誤圖 45 在同樣層走向成斜交的建築物之下面保留同樣柱 移角 β 和 γ 之計算	62
諸誤圖 46 和諸誤圖 47 由受護牆的角點起至柱的上部邊界 δ 和 柱往下的下部邊界 L 止的 P 与 L 垂直長度之計算	63-64



此为试读, 需要完整PDF请访问: www.ertongbook.com

錯 譲 圖 公 式

錯誤圖 編號	公 式	錯誤圖 編號	公 式
1	$S_{\text{誤}} = \frac{1}{2}(\sqrt{S_1} + \sqrt{S_2})$		
2	$a = \frac{\sin A}{\sin B}$	25, 264, 265	$\sin^2 1^\circ = \sum_{j=1}^{n-1} R^2 m_j^2 \sin 2j^\circ + \sum_{j=1}^{n-1} \sin(2j+180^\circ) m_j^2$
3	$s' = \frac{\min(M+N)m'}{S}$		$\tan 2Y = \frac{\sum_{j=1}^{n-1} R^2 m_j^2 \cos 2j^\circ + \sum_{j=1}^{n-1} \cos(2j+180^\circ) m_j^2}{\sin^2 1^\circ - \sum_{j=1}^{n-1} R^2 m_j^2 \cos 2j^\circ - \sum_{j=1}^{n-1} \cos(2j+180^\circ) m_j^2}$
4	$d = S + \Delta S, \Delta S = \frac{S_2 - S_1}{2R_m}$	27	$a = \sqrt{s_x^2 + s_y^2}$
5	$d'_{\text{誤}} = \frac{p'}{6R_m} (x_1 - x_2)(y_1 + y_2)$		$m_x = \sin^2 1^\circ \sum_{j=1}^{n-1} R^2 m_j^2 \sin 2j^\circ + \sum_{j=1}^{n-1} \sin(180^\circ + 2j) m_j^2$
6	$d'_{\text{誤}} = \frac{p'}{2R_m} (x_1 - x_2) \sin \alpha$	28	$s_y = \sin^2 1^\circ \sum_{j=1}^{n-1} R^2 m_j^2 \cos 2j^\circ + \sum_{j=1}^{n-1} \cos(180^\circ + 2j) m_j^2$
7	$y' = \frac{p'}{N} \times \lg B$	29	$M \frac{d}{d} = \sum_{j=1}^{n-1} m_j^2 + \sum_{j=1}^n N^2 \cdot N = Rm_p \sin 1^\circ$
8	$\frac{1}{a} = \theta^2_A + \theta^2_B$	30	$A = \pm \sqrt{\frac{1}{2} (M^2 + a)}, B = \pm \sqrt{\frac{1}{2} (M^2 - a)}$
9	$\begin{cases} \frac{1}{p} = \theta^2_A + \theta^2_B + \theta^2_E & \text{四邊形} \\ \frac{1}{p} = \frac{4}{3} (\theta^2_A + \theta^2_B + \theta^2_E) & \text{三角形} \end{cases}$	31, 32, 33, 34	$p^2 = A^2 \cos^2 \theta + B^2 \sin^2 \theta$
10	$m = \frac{p' \sin \theta'}{d}, \lambda = \frac{p' \cos \theta'}{d}$		$b = 0.5 \sin 2\pi t$
11	$\Delta t = t(t-t_0)$	35	$b = \pm \lg^+$
12	$\Delta S = \frac{S^2}{2S} + \frac{A^2}{2S} = \Delta_1 + \Delta_2$		$f = S^2 \frac{1-K}{2R}$
13	$\Delta S = 2S \sin^2 \frac{\pi}{2}$	36	$\Delta H = 0.01 \pm 0.0002 H$
14	$\delta_1 = a \sin 2\gamma, \delta_2 = c \cos 2\theta$		$\Delta h_1 = \pm (10\sqrt{L} + 9L), \Delta h_2 = \pm 20\sqrt{L}, \Delta h_3 = \pm 15\sqrt{L}$
15	$\Delta L = a \sqrt{L} + bL$		$\Delta h_4 = \pm (10\sqrt{L} + L), \Delta h_5 = \pm 15\sqrt{L}$
16	$f = \pm m_p \sqrt{n}$	37, 38, 39, 40	$M^2 = \frac{p^2 d}{2}$
17	$m_p = \pm \sqrt{\frac{m_x^2}{2a^2} + \frac{m_y^2}{n}}$	35	$m_a = \pm \sqrt{\left(\frac{(p^2 d)}{2a^2}\right)^2 m_x^2 + \left(p^2 \lg \frac{m_x}{a}\right)^2} + \left(p^2 \lg \frac{m_x}{a}\right)$
18	$m_y = \pm \sqrt{\frac{m_x^2}{2a^2} + \frac{m_y^2}{n}}$	39	$m_g = \pm \sqrt{\left(\frac{(p^2 d)}{2a^2}\right)^2 m_y^2 + \left(p^2 \lg \frac{m_y}{n}\right)^2} + \left(p^2 \lg \frac{m_y}{n}\right)$
19, 20, 21, 22	$m_{\theta_x} = \pm p' \sqrt{\frac{1}{2} \left(\left(\frac{m_x}{S_1} \right)^2 + \left(\frac{m_y}{S_1} \right)^2 + \left(\frac{m_z}{S_1 S_2} \right)^2 \right)}$	40	$m_p = \pm \frac{m_x p'}{\sin \beta} \sqrt{1 + \cos^2 \beta + \cos^2 \gamma}$
20	$\Delta r = a \cos \alpha, \Delta \gamma = d \sin \alpha$	41	$m_g = \pm \frac{m_y p'}{\sin \alpha} \sqrt{1 + \cos^2 \alpha + \cos^2 \gamma}$
21	$m_g = \pm \sqrt{\frac{1}{6} \times (s-1)(2s-1) \sin 1^\circ m_p^2}$	42	$M''(P_1 P_2) = \pm \frac{P_1 P_2 m_p^2}{AB} \sqrt{\frac{1}{2} (r^2 + r_p^2)}$
22	$m_g = \pm \sqrt{\frac{1}{12} (s^2 - 1) \sin 1^\circ m_p^2}$	43	$\Delta L_0 = \frac{30^\circ - l}{E} \left(l' - \frac{L}{2} \right)$
23	$m_g = \pm \sqrt{\frac{(s-1)(s-a)}{48(s-1)}} \left((a+1)(s^2+1) \right.$	44	$\Delta L_0 = \frac{12(0-Q_0)}{E^2}$
	$\left. - (a+2)(s-1) - (a-s)(s-2) \right) \sin 1^\circ m_p^2$	45	$\beta_x = \frac{p^2 \sin 2\pi t}{4S^2}$
24	$m_g = \pm \sqrt{s-1} m_p, m_g = \pm \sqrt{s-a} m_p$	46	$m = m_a \sin \beta, m = m_g \sin \beta$
25	$m_g = \pm \sqrt{\frac{(s-1)(s-a)}{s-1}} m_p$	47	$\sin \theta_{\text{誤}} = \sqrt{m_p^2} \cos \theta + \sin \theta \sin \theta_{\text{誤}}$
			$\cos \theta_{\text{誤}} = \sqrt{m_p^2} \sin \theta + \cos \theta \sin \theta_{\text{誤}}$

諸 論 圖 說 明

諸 論 圖 1

兩三角點之間的相互測量計算

平坦開闊地區兩三角點之間的相互距離，可根據下式計算：

$$S_{\text{全距}} = 4(\sqrt{h_1} + \sqrt{h_2}),$$

式中 $S_{\text{全距}}$ ——二角點之間的距離，以公尺計；
 h_1 和 h_2 ——三角測量視標的高度，以公尺計。

該諸論圖由三條相平行的標尺組成：兩邊的標尺為視標高度 h_1 和 h_2 ，以公尺計；中間的標尺為兩個三角點之間的距離 S ，以公尺計。

對已知數值 h_1 和 h_2 或 h_1 和 S 的諸論圖用法是將直尺對准各相應分划（ h_1 或 h_2 ），於是在直尺與標尺 S 或標尺 h_1 的交點上即求出 S 值，以公尺計；或 h_1 值，以公尺計。

例 1 三角點視標的高度分別為 $h_1=10$ 公尺， $h_2=24$ 公尺，在這兩點之間的距離 $S=20$ 公里，試求在他們之間是否能互視。

解 將直尺對準標尺 h_1 的分划 10 和 h_2 的分划 24，於是直尺與中間標尺相交點即為答案： $S=32.25$ 公里。

因為 S 大於已知距離（20 公里），所以這兩點之間是可以相互通視的。

例 2 点 1 視標的高度 $h_1=9$ 公尺，点 1 与点 2 之间的距离 $S_{12}=22$ 公里。試求点 2 視標的高度。

解 將直尺對准左端標尺的分划 9 和中間標尺的分划 22，則按右邊標尺求得答案： $h_2=6.2$ 公尺。

諸 論 圖 2

斜三角形的解算原理

按諸論圖進行三角形邊之初算，該圖由下面公式組成：

$$a = \frac{b \sin A}{\sin B},$$

式中 a ——三角形所求邊；

b ——已知邊；

A 和 B ——三角形聯角。

本諸論圖可用作：測定三角網中的三角形邊長，該邊長對於在求由圓錐旋轉化為平面的歸心改正數時計算球面距離，和對於用間接測量方法進行三角網平差時計算球面距離，都是必需的。

本諸論圖由三條投影標尺組成：第一條為角 A 和角 B 的標尺；第二條為 a 和 b 的邊的標尺；第三條為無刻劃標尺。

除了這三條主要的標尺之外，在標尺 a 的同一側邊的左邊還有 bg 標尺。利用標尺 bg 可以計算三角形所求邊的對数值。利用諸論圖時，將直尺對准已知值 b 和 B ，於是在直尺與無刻劃標尺之交叉處標出一點。再將直尺對准在無刻劃標尺上已標定的直標尺 b 的角 A 已知值，於是在直尺與標尺 bg 之交叉處即得答案： a 或 bg 。

例 三三角形的實測角 $A=42^{\circ}05'$, $B=65^{\circ}00'$ 和 b 邊 $=2100$ 公尺，試求該三角形的 a 邊及其餘長度對數。

解 將直尺對準 (B) 標尺上的 $65^{\circ}00'$ 和 b 標尺上的 $b=2100$ 公尺。然後將直尺與無刻劃標尺之交叉處直標尺（放上直尺）與 $A=42^{\circ}05'$ 連接起來，則此直尺與 b 標尺之交叉處即為答案： $a=1550$ 公尺和 $bg=-3.100$ 。

依此類推，長已知角 C 和 B 以及 b 邊可以求出 c 邊和 bg 。

諸 論 圖 3

三級與低級三角網的偏心站和偏心標誌的歸心計算

本諸論圖是計算三級三角網和矿山三角測量的偏心站和偏心標誌的歸心用。

按下列公式進行計算：

$$d' = \frac{\sin(M+\theta)}{S} p'',$$

式中 d' ——偏心站（偏心標誌）的偏心距；

θ ——偏心站（偏心標誌）的偏心角，是利用儀器或用視標小樣拉線法採取射方向讀取由標誌的中心方向到起始方向的角度。

S ——從標站到測點的距離。

偏心標誌的偏心距改正數的符號系把 $M+\theta$ 角化為第一象限表確定之，該表附于本諸論圖內。

此諸論圖系由五條標尺所組成：

第一条是求 p ——偏心站（偏心標誌）的偏心距的標尺；

第二條是求 $S(\lg S)$ ——距離（或對數距離）的標尺；

第三條是無刻劃標尺；

第四條是求第一象限 $M+\theta$ 角的標尺；

第五條是所測數値 e'' 的答數標尺。

例 如以第 7 號點作為起始方向，試計算第 8 號矿山三角點的方向在第 6 號點上的归心。

已知 $M_{7,8}=20^{\circ}15'$; $\theta_{7,8}=123^{\circ}15'$; $e=1.126$ 公尺和 $S=4.32$ 公里。

解 角 $(M+\theta)=143^{\circ}30'$ ；按化成設角的計算法得加 $M+\theta=+36^{\circ}30'$ 。將直尺對準 $M+\theta$ 標尺的 $+36^{\circ}30'$ 和 S 標尺的 4.32。然後將直尺與無刻劃標尺的交點用直標測距尺的 1.326 直接連接起來。於是在直尺與標尺 e'' 的相交之處，求得 $e=+32^{\circ}0$ 。

諸 論 圖 4

三級與低級三角網由圓錐體化為投影平面時的距離改正計算

由圓錐體化為投影平面時的實測距離按以下式計算：

$$d = S + \frac{y_n^2}{2 R_n} = S + \Delta S,$$

式中 d ——化為投影平面時的距離；

S ——實測距離或大地綫長度；

$$y_n = \frac{2(1-\gamma)}{2} \text{ 平均經緯度；}$$

R_n ——根據克拉索夫斯基所計算的地球半徑等子 6371 公里。

本諸論圖適用於計算矿山三角測量和多邊形導線的 ΔS 改正值，該圖由三條標尺組成：

第一條圓錐形左側標尺——標尺 y_n ，以公尺計；

圓錐形右側標尺——標尺 y_n ，以公尺計；

中間的一條標尺—— ΔS 改正數的答數標尺，以公尺計。

例 文湖水平距離 $S=5500$ 公尺，平均經緯度 $y_n=130$ 公里。試將圓錐形化為投影平面的距離 d 。

解 將直尺與標尺 S 的分划 5500 和標尺 y_n 的分划 130，在直尺與標尺 ΔS 之交叉處讀得答數： $\Delta S=+1.135$ 公尺，由此 $d=5500+1.135=5501.135$ 公尺。

PDG

諸誤圖 5 和諸誤圖 6

由椭圆体归化为投影平面时，大地线在平面上描绘曲率的改正计算

由椭圆体归化为投影平面时，Ⅲ、Ⅳ級三角测量各方向的偏心差归心改正计算按下列公式进行：

$$\delta_{x,z} = \frac{p''}{5R_n^2} (x_2 - x_1)(2y_1 + y_2) \quad (1)$$

而矿山三角测量各方向的偏心差归心改正计算

$$S_{x,z} = \frac{p'}{2R_n^2} (x_2 - x_1)y_{m+} \quad (2)$$

式中 x_1, x_2 ——第一点与第二点的横坐标；

y_1, y_2 ——第一点与第二点的纵坐标；

$$y_m = \frac{1}{2}(y_1 + y_2) \quad \text{横坐标的平均值；}$$

R_n ——地球半径，等于371公里。

諸誤圖 5 按公式 (1) 整成，而諸誤圖 6 是按公式 (2) 整成的。

諸誤圖 5 和諸誤圖 6 各有三条标尺：椭圆形的一条测尺——坐标的差 ($x_2 - x_1$) 的标尺，椭圆形的另一条测尺——横坐标 ($2y_1 + y_2$) 或 y_m 的标尺，椭圆形的中线——答数标尺，本标尺为计算改正数 δ' 之用。

改正数 δ' 的符号系根据公式第一项和第二项的符号而定。

諸誤圖 5 的应用方法由下例说明。

例 (諸誤圖 5) 如 $x_2 - x_1 = +8.2$ 公里， $2y_1 + y_2 = +215.9$ 公里，则大地线描绘曲率改正 δ' 加在直尺三向割一边方向中。

解 用直尺对准标尺 $x_2 - x_1$ 的 8.2 和标尺 $2y_1 + y_2$ 的 215.9，于是在直尺与标尺 y_m 之交点处读得数据： $\delta_{x,z} = +1' .50$ 。

例 (諸誤圖 6) 如该线的两端点之坐标为：

$$x_1 = 6182.7 \text{ 公里}, \quad y_1 = +70.2 \text{ 公里}.$$

$$x_2 = 6198.8 \text{ 公里}, \quad y_2 = +65.8 \text{ 公里}.$$

则把大地线描绘曲率改正 δ' 加在矿山测量三角割一边方向中。

解 求得 $x_2 - x_1 = +16.1$ 公里， $y_m = +68$ 公里。用直尺对准标尺 $(x_2 - x_1)$ 的 16.1 和标尺 y_m 的 68。于是在直尺与答数标尺之交点求得 $\delta_{x,z} = +2' .78$ 。

$\delta_{x,z}$ 之符号则根据 $(x_2 - x_1)$ 和 y_m 的符号而定。

諸誤圖 7

低級三角網或多邊形子午線收斂角計算

大地方位角按下式算得为投影平面的座标方位角(座标方位角系指中央子午线的方向或平行于中央子午线的方向和地物方向之间的角度，是从 0 度起至 360 度止的枝訂者)：

$$\alpha = A - \gamma - \delta,$$

式中 α ——投影平面的座标方位角；

A ——大地方位角；

γ ——子午線收斂角；

δ ——大地线在平面上的描繪曲率方向改正数(諸誤圖 5 和諸誤圖 6)。

对矿山三角测量而言，子午線收斂角可按如下的近似公式计算之：

$$\gamma' = \frac{p'}{N} - y \tan B,$$

或

$$\gamma' = [2] y \tan B,$$

式中 $[2]$ ——纬度 $B = 56^\circ$ 的系数 1.50874；

y ——起始点之横坐标，以公里计；

B ——起始点之大地纬度；

N ——卯酉圈的卯酉半径，以公里计。

本諸誤圖由三条标尺组成，属于椭圆形的二标尺为标尺 y 和标尺 B ，而中间的(直尺)为纵度分带表示的 γ' 标尺。由纵度标尺 B 组成的諸誤圖可适用于苏联各个地区。

例 已知 $y = +56.2$ 公里， $B = 62^\circ$ 。试求 γ' ——子午線收斂角。

解 将直尺对准标尺 y 的 56.2 和标尺 B 的 62° 。于是在直尺与答数标尺之交点，读得： $\gamma' = +0'57'0$ 。 γ' 之符号系根据座标 y 的符号而定。

諸誤圖 8

接来有平差的各角计算三角網內之三角形的計算权的倒数

当作三角網設計时，三角形的权倒数可按三角網之未有平差的各角依下式计算之：

$$\frac{1}{P} = (\delta_A + \delta_B).$$

本圖由三条投影标尺組成：

左标尺——联系角 A ；

右标尺——联系角 B ；

中標尺——答数标尺。

例 已知联系角： $A = 50^\circ 20'$ ， $B = 45^\circ 40'$ 。试求三角形的权倒数 $\frac{1}{P}$ 。

解 将直尺对准标尺 A 的 $50^\circ 20'$ 和标尺 B 的 $45^\circ 40'$ 。在直尺与中間标尺 $\frac{1}{P}$ 之交点读得答数： $\frac{1}{P} = 0.4$ (以对数第六位为单位)。

諸誤圖 9

三角網內之三角形、大地測量四邊形和多邊形 點形的权倒数計算

为了对三角網几何图形强度评价，应计算每一图形的权倒数，然后求出这些权之和。

三角形图形的权倒数按下式计算：

$$\frac{1}{P} = \frac{4}{3} (\delta_A + \delta_B + \delta_C),$$

而大地測量四邊形和多邊形中点形的图形的权倒数按如下式计算：

$$\frac{1}{P} = \frac{1}{3} (\delta_A + \delta_B + \delta_C + \delta_D),$$

式中 δ_A 和 δ_B ——联系角的正弦对数每秒移之差数(以对数第六位为单位)。

大地測量四邊形和多邊形中点形的权倒数是按便于推算联系边长的三角形进行计算的。

接本諸誤圖，可同时求出三角形，大地測量四邊形和多邊形中直形的权倒数。

例 已知联系角 $A = 72^\circ$ ， $B = 29^\circ$ 。试求三角形的权倒数 $\frac{1}{P}$ 。

解 请重叠 $A = 72^\circ$ 与曲线 $B = 29^\circ$ 之交点到三角形权倒数的标尺 $\frac{1}{P}$ ，于是读得答数： $\frac{1}{P} = 23.7$ (以对数第六位为单位)。

諸誤圖 10

按间接观測法进行三角網平差时，原始方程式

附分系数 a 及 b 依标尺式求之：

系数 a 及 b 依标尺式求之：

PDG

$$a = \frac{r'' \sin \alpha'}{d}; \quad b = \frac{r'' \cos \alpha'}{d},$$

式中 α' ——坐标方位角的近似值;

d ——投影距离, 以公里计。

如将坐标方位角 α' 由固定点推算到所求点(内方向), 那么 α' 之符号与正弦符号相反, 而 b 之符号则为坐标方位角的余弦符号。

例 已知 $\alpha' = 52^\circ 15'$, $d = 3.12$ 公里。试求系数 a 及 b 。

解 为了求出系数 a , 将直尺对准标尺 d 的 3.12 和标尺 r' 的右边分划 $52^\circ 15'$ 。在直尺与标尺 $a(b)$ 的交点上读得答案: $a = -5.23$ (符号与正弦符号相反)。将直尺转向直尺 d , 并对准标尺 r' 左边分划的 $52^\circ 15'$, 于是一按标尺 $c(l)$ 求得 $b = +4.05$ (仍为余弦符号)。

諸誤圖 11

鋼尺、卷尺及鋼線尺的溫度改正之計算

本諸誤圖是为求出钢尺、卷尺和钢线尺长度的温度改正数之用。

改正数按下列式求之:

$$\Delta l = h \cdot (t - t_0).$$

式中 t ——钢尺长度, 以公尺计;

$(t - t_0)$ ——钢尺温度与比长温度之差。

当用钢尺或卷尺丈量时, 采用经验常数 $k = 0.000011$, 但用钢尺丈量时则 $k = 0.000008$ 。

本諸誤圖具有三条标尺: 左标尺——测尺(指钢尺、卷尺和钢线尺等而言——找尺者)的长度 l ; 右标尺——测温温度与比长温度之差 $(t - t_0)$; 中标尺——答数标尺。答数标尺的左边分划为钢尺及卷尺的温度改正数, 右边分划则为钢线尺的温度改正数。

例 在温度 $t = 27^\circ$ 时用长为 24 公尺的钢线尺丈量某一线段。比长温度 $t_0 = 16^\circ$ 。试求温度改正数。

解 将直尺对准标尺 t 的 24 和温度差 $(t - t_0)$ 标尺的 11, 于是在直尺与答数标尺的交点上读得答案: $\Delta l = +2.11$ 公尺。

諸誤圖 12

按钢线尺的始端和末端的高差进行测温的倾斜改正之计算

如已知钢线尺的高差 h , 那末测温的倾斜改正数 ΔS 即可按下式求出:

$$\Delta S = \frac{h^2}{25} + \frac{h^3}{6S^4} = \Delta_1 + \Delta_2,$$

式中 h ——钢线尺两端的高差;

Δ_1 ——钢线尺斜长的长度。

将斜长加上改正数, 此倾斜改正数始终为负的, 当矿山山道具有很大的高差, 而又需精密量距时, 应计算到第二项 Δ_2 。

例 已知: $S = 16.8$ 公尺, $h = 0.9$ 公尺。试求钢线尺的水平投影。

解 将直尺对准标尺 S 的分划 16.80 和标尺 h 的分划 0.90, 于是在直尺与答数标尺的交点上读得答案:

$$\Delta_1 = -24.1$$
 公尺,

$$\Delta_2 = -0.02$$
 公尺。

现在用解析法可以很简略地求出该钢线尺的水平投影:

$$S_p = S - \Delta S = 16.80 - 0.024 = 16.776.$$

諸誤圖 13

按钢尺斜角进行测温的倾斜改正之计算

为取得钢尺测温的水平投影, 必须求出钢尺改正数, 而此改正数

按下列式计算:

$$\Delta S = 25 \sin^2 \frac{\pi}{2} r,$$

式中 S ——钢尺丈量距离, 以公尺计;

r ——测线的倾斜角。

倾斜改正数始终是负的。

例 已知: $S = 32.50$ 公尺, $r = 18^\circ 35'$ 。试求钢尺的水平投影 S_p 。

解 将直尺对准标尺 S 的 32.50 和标尺 r 的 $18^\circ 35'$, 然后在直尺与答数标尺 ΔS 的交点上读得答案: $\Delta S = -1.69$ 公尺。

水平投影

$$S_p = S - \Delta S = 32.50 - 1.69 = 30.81.$$

諸誤圖 14

用视距仪测得的测温水平距离之计算

用视距仪丈量的测温长度的水平投影按下列式求之

$$d = d \cos^2 r + c \cos r, \quad (1)$$

$$d = a \cos^2 r + c \cos r, \quad (2)$$

式中 k ——测距系数, 通常为 100;

t ——测距仪下下视屏间的距离, 以标尺分划计;

r ——倾斜角;

c ——视距常数。

直接计算测温的水平距离有许多不方便, 因此为了求得水平投影必须求出改正数, 然后由倾斜量的测温长度中减去改正数, 按下列式计算之:

$$d = D - \Delta_1 + \Delta_2,$$

式中 $\Delta_1 = a \sin^2 r$; $\Delta_2 = c \cos r$ 。

本諸誤圖可按相应的标尺分别地求出改正数 Δ_1 和 Δ_2 , 同时还可按公式(1)计算出测温的水平投影。

上式第二项改正数 Δ_2 , 当小比例尺测量时因为很小, 不加计算。

例 水准尺读数 $I = 1.413$, 视距系数 $k = 100$, 视距常数 $c = 0.37$ 公尺, 倾斜角 $r = 12^\circ 35'$ 。试求测温的水平距离。

解 由视距系数 k 与水准尺读数 I 之乘积得出: $a = kr = 141.3$ 公尺。将直尺对准标尺 I 的 141.3 和标尺 r 的 $12^\circ 35'$, 然后在直尺与标尺 Δ_1 的交点上读得答案: $\Delta_1 = -0.71$ 。

为了求出 Δ_2 , 可利用小洁誤圖。将直尺对准标尺 c 的 0.37 和标尺 r 的 $12^\circ 35'$, 是在直尺与标尺 Δ_2 的交点上读得答案: $\Delta_2 = +0.36$ 。

测温的水平距离 d 可按下列式计算:

$$d = D - \Delta_1 + \Delta_2 = 72.59 - 0.71 + 0.36 = 66.24$$
 公尺。

諸誤圖 15

以调卷尺两次丈量并下经纬导线边长之间容许不待值之计算

按下列式计算以调卷尺两次丈量并下经纬导线边长之间的容许不待值:

$$\Delta L = n \sqrt{L} + bL^2,$$

式中 L ——实测边长, 以公尺计;

n ——偶然误差系数和限值, 定为 0.0025(系根据苏联生

* 里耶方取平均数的精度按木履(1910 年版), 第 131 条第 134 条之规定, 第一折子一尺的经长的立尺尺头大的部分的精度不得大于经尺长度的 $1/5000$, 而第二折子一尺的经长的立尺尺头大的部分的精度不得大于 $1/2000$ 。

见大图(1910 年版)的这个规定是经过研究的, 但现作为精度规定来讲述是不正确的。

产矿井测量技术规程，1939年版）或0.001（根据泰山矿山测量科学研究院（BHIGH）之数据）；

b —系统误差影响系数标尺值，等于0.0001。

本诺模图由两条双边的分划尺所组成：左标尺在系数 a 等于0.0025时作为求 ΔL 值之用，而右标尺在系数 a 等于0.001时则作为求 ΔL 值之用。

例 两次丈量的边长为98.50公尺。试求容许不得值 ΔL 。

如系数 a 等于0.0025时，在左标尺与 $L=98.5$ 公尺的相交处，求得 $\Delta L=34.7$ 。

如系数 a 等于0.001时，则利用右双边分划尺，求得 $\Delta L=19.8$ 公厘。

諾謨圖 16

經典儀器導線和多邊形導線的角度極限誤差之計算

当用標尺仅是測水平角时，角度極限閉合差按以下式計算：

$$f_{\beta} = \pm m_p \sqrt{n},$$

式中 m_p —实测角的極限誤差；

n —实测角的数目。

本諾謨圖由三条平行标尺所组成。用左标尺可求出 m_p 即实测角的極限誤差，用右标尺可求出实测角的系数 n ，而用中間标尺（答数标尺）可求出多邊形导线的角度極限閉合差。

例 实测角的極限誤差 $m_p=30''$ ，經典仪导线的系数 $n=18$ ，試求角度之閉合差。

解 直尺对准标尺 m_p 的30和标尺 n 的18，于是在直尺与中間标尺之交叉处读得： $f_{\beta}=\pm 2'.7''$ 。

諾謨圖 17 和諾謨圖 18

用復測法或方向觀測法（全圓測回法）測水平角的誤差之計算

用复测法（諾謨圖 17）測水平角之誤差按以下式計算：

$$m_p = \pm \sqrt{\frac{m_d^2}{2n^2} + \frac{m_s^2}{n}}, \quad (1)$$

用方向觀測法（即不再重对后视）所测的水平之誤差（諾謨圖 18）按以下式計算：

$$m_p = \pm \sqrt{\frac{m_d^2}{2n^2} + \frac{m_s^2}{n}}. \quad (2)$$

式中 m_d —讀數誤差，等于游标最小讀數 ϵ 的 $\frac{1}{2}$ ；

n —公式(1)的复测次数和公式(2)的测回数；

m_s —照准誤差，采用 $\frac{60''}{l^2}$ 或 $\frac{72''}{r}$ ；

l —望远鏡放大率；

r —望远鏡物鏡的自由徑之半徑，以公厘計。

这两个諾謨圖在構成上是完全不相同的。諾謨圖 17 是由五条投影标尺所组成。两边的两条标尺：左尺为 m_p ，右尺为 m_s ，而中间的三条标尺方为 $n=2, 4, 6$ 时之答数标尺 m_d 。

例（諾謨圖 17） 水平角是用哈尔滨矿山仪器厂制的TPI-1型标尺仪，进行了六次复测，游标的最小讀數为 $30''$ ，望远鏡放大率为 25^{\times} 。試求角度誤差 m_p 。

解 按仅游标数有：

$$m_d = \pm 15'', \quad m_s = \frac{60''}{l^2} = \frac{60''}{25^2} = 2''.4,$$

直尺对准标尺 m_p 的 $2''.4$ 和标尺 m_d 的 13.5 ，于是在直尺与标尺 m_d （ $n=6$ ）之交叉处读得答数： $m_p=\pm 2''.02$ 。

諾謨圖 18 是为了求出以方向觀測法（全圓測回法）所测出的角度誤差之用。

例（諾謨圖 18） 用無統尺测水平角，共进行了六个测回。讀數誤差 $m_d = \pm 10''$ ，照准誤差 $m_s = 2''.4$ 。試求水平角的誤差 m_p 。

解 将垂直綫 $m_p=2''.4$ 与曲綫 $m_s=10''$ 之交点引到每尺1，然后再将所得点用直尺与标尺 n 的值6连接起来；在直尺与中間标尺之交点处读得答数： $m_p=\pm 3''.05$ 。

諾謨圖 19 和諾謨圖 19a

由于仪器与觇标偏心而产生的水平角中误差之计算

角度总誤差的平方是由本身测角中誤差 m_p 平方与由于仪器与觇标未轉向对中而产生的角度小誤差 m_p 之平方相加而成：

$$M_p^2 = m_p^2 + m_p^2.$$

因仪器与觇标未对中而产生之角度中誤差 m_p ，由下式示之：

$$m_p^2 = \frac{1}{2} \left(\left(\frac{e' e_1}{S_1} \right)^2 + \left(\frac{e' e_2}{S_2} \right)^2 + \left(\frac{e' e_3}{S_3} \right)^2 \right), \quad (1)$$

式中 e_1 和 e_2 —觇标对中誤差，以公厘計；

e_3 —仪器对中誤差，以公厘計；

S_1, S_2, S_3 —角的邊長，以公尺計；

e' —与 β 角相對的邊長，以公尺計。

為了了解方便，將構成本公式之各項分別以式示之：

$$\left(\frac{e' e_1}{S_1} \right)^2 = A_1; \quad \left(\frac{e' e_2}{S_2} \right)^2 = A_2; \quad \left(\frac{e' e_3}{S_3} \right)^2 = A_3,$$

由此，公式(1)可写成下式：

$$m_p^2 = \frac{1}{2} (A_1 + A_2 + A_3).$$

本諾謨圖为計算由于仪器与觇标偏心而产生的角度中誤差，將此圖分成兩圖（諾謨圖 19 和諾謨圖 19a）示之。

諾謨圖 19 为按系数 e_1, e_2, S_1 和 S_2 計算補助值 A_1 和 A_2 之用。

諾謨圖 19a 及根据 e_3, S_1, S_2 和 S_3 值可求出補助值 A_3 和 m_p 值（即是由于仪器与觇标偏心而产生的中误差）。

例 若仪器的偏心距 e_3 等于1.6公厘，視标的偏心距 $e_1=e_2=1.8$ 公厘，角之邊長 $S_1=35.3$ 公尺， $S_2=42.4$ 公尺，以及角的對邊長度 $S_{1,3}=53.6$ 公尺，試求由于仪器与觇标偏心而引起的角度中誤差。

解（按諾謨圖 19） 将直尺对准标尺 e_1 的分划1.8和标尺 S_1 的分划35.3，于是在直尺与中間标尺的交叉点上求得 $A_1=111$ 。用直尺将标尺 S_2 的分划1.8和标尺 S_2 的分划42.4连接起来，则直尺与答数标尺 A_2 的交点即得答数： $A_2=76$ 。

利用諾謨圖 19a 按已知数据最初補助值 A_3 。为此，将直尺对准标尺 e_3 的1.6和标尺 $S_{1,3}$ 的53.6，于是則求出直尺与無規則标尺 S_3 的交点。再将求得之直尺与标尺 S_3 的35.3连接起来，然后，在直尺与無規則标尺 S_3 的交叉点上又求出第二點，然后用直尺将该点与标尺 S_3 的42.4连接起来，則此直尺与标尺 A_3 的交点即为答数 $A_3=139.0$ 。利用諾謨圖 19a 的双边分划标尺，接所取得的 $A_1+A_2+A_3$ 的总和值，求得 $m_p=\pm 12''.8$ 。

諾謨圖 20

直角坐标增量的检查計算

本諾謨圖可作为检查計算坐标增量之用，特别是，当不使用计算机进行计算时更宜应用。它不仅可作为检查用，而且还能计算近似坐标，譬如，在斜面大地網在投影平面上的精確而平顺时用之。

凡絕佳而有足夠精度的情况下，此圖皆可应用。

座标增量按下列式计算：

$$\Delta x = d \cos \alpha;$$

$$\Delta y = d \sin \alpha.$$

式中 Δx 和 Δy —— x 轴和 y 轴的坐标增量；

d ——测距的水平距离；

α ——坐标方位角。

Δx 和 Δy 的符号列入表 1。

表 1

坐 标 方 位 角 (度)	象限	Δx	Δy
$90 > \alpha > 0$	I	+	+
$180 > \alpha > 90$	II	-	+
$270 > \alpha > 180$	III	-	-
$360 > \alpha > 270$	IV	+	-

必须指出：“坐标尺为双边分划标尺；左边为计算 Δx 用的，上边注有坐标方位角由 0° 至 90° ，而右边则为计算 Δy 用的，亦注有坐标方位角值。”

例：已知 $d=65.5$ 公尺， $\alpha=124^\circ.15'$ 。试求座标增量 Δx 和 Δy 。
解：将坐标方位角 α 换算为第一象限的方向角，则

$$\alpha_0=55^\circ45'.$$

将直尺对准标尺的相应值，即得：

$$\Delta x=-36.9\text{公尺}; \quad \Delta y=+54.1\text{公尺}.$$

量尺号根据表 1 确定之。当利用此法读数计算 100 公尺以上的边长时，该边长要缩小成十分之一。此时， Δx 和 Δy 的读数值则应减到 10 倍。

本法读数按 $d=D \cos \alpha$ 之公式亦可直接计算测得的水平投影。

諸誤圖 21, 諸誤圖 22 和諸誤圖 23。

伸展多边形导线的横向位移计算

对具有起始固定点（系指精密度尺和高级三角网的控制点而言——极点），和起始座标方位角之伸展多边形导线的横向位移（移动），可按下式计算：

$$m_q=\pm \sqrt{\frac{1}{6}n(n-1)(2n-1)} \sin 1^{\circ} m_p S^{\frac{1}{2}}.$$

具有起始固定点、起始座标方位角和末端的座标方位角之多边形导线的横向位移可按下式计算：

$$m_q=\pm \sqrt{\frac{1}{12}n(n^2-1)} \sin 1^{\circ} m_p S.$$

对具有起始固定点和末端固定点，以及起始座标方位角和末端座标方位角的伸展多边形导线之横向位移，可按下式计算：

$$m_q=\pm \sqrt{\frac{(n-1)(n-2)}{48n(n-1)}} [(n+1)(n^2+3)-(n+3)[(n-1)-(n-2)]^2] \\ \times \sin 1^{\circ} m_p S.$$

上述公式中 n ——多边形导线顶点之数目（其中包括称为一等点的起始固定点）；

m_p ——需要计算横向位移的点之幅差；

S ——多边形导线之边长，以公尺计。

当检校或添置圆和中误差曲率（即表示多边形导线点位置的误差时，横向位移 m_q 为添置圆半径之二倍，该半径垂直于导线的方向，

* 諸誤圖 1, 諸誤圖 2, 諸誤圖 3, 諸誤圖 4, 諸誤圖 5, 諸誤圖 6, 諸誤圖 7 和諸誤圖 8 中的“ m_q ”即代之，因此这些类型的图式非常相似。

例 1（諸誤圖 21）：如果多边形的边长 $S=84$ 公尺且起始角的中误差 $m_p=\pm 14''$ ，试求具有起始固定点（即第一点）和坐标方位角的伸展多边形导线点 $N_8 (e-s)$ 之横向位移 m_q 。

解：将直尺对准标尺 α 的分划 8 和标尺 m_p 的分划 $14.75'$ ，再用直尺将此直尺与无刻划标尺的交点即为答案：横向位移 $m_q=69.9$ 公尺。

例 2（諸誤圖 22）：接例 1 的数据，但 $n=12$ ，试求伸展多边形导线（该导线具有起始固定点，起始座标方位角和末端固定点座标方位角）的横向位移 m_q 。

解：将直尺对准标尺 α 的分划 12 和标尺 m_p 的分划 $14.75'$ ，再用直尺将直尺与无刻划标尺的交点即为答案：横向位移 $m_q=70.6$ 公尺。

例 3（諸誤圖 23）：如果边长 $S=84$ 和实测角的中误差 $m_p=\pm 14.75'$ ，试求在 $n=12$ 伸展多边形导线（该导线具有起始固定点和末端固定点以及起始固定点座标方位角和末端固定点座标方位角）点 $N_8 (e-s)$ 的横向位移。

解：将直尺 $e=8$ 与缓圆 $n=12$ 的交点按水平键引到标尺上，再用直尺将求得之点与标尺 m_p 的分划 $14.75'$ 连接起来，并将直尺对准在无刻划标尺 α 上与一直线相交之点和标尺 S 的分划 84，即直尺与标尺 m_p 的交点即为答案： $m_q=16.5$ 公尺。

諸誤圖 24 和諸誤圖 25

伸展多边形导线横向位移（移动）之计算

对具有起始固定点和起始座标方位角的多边形导线之横向位移，可按下式计算：

$$m_q=\pm \sqrt{(n-1)} m_p.$$

对具有起始固定点和末端固定点，以及起始座标方位角和末端座标方位角的伸展多边形导线之横向位移，可按下式计算：

$$m_q=\pm \sqrt{(n-1)} m_p.$$

对具有起始固定点和末端固定点，以及起始座标方位角和末端座标方位角的伸展多边形导线之横向位移，可按下式计算：

$$m_q=\pm \sqrt{\frac{(n-1)(n-2)}{(n-1)}} m_p,$$

式中 m_p ——需要求出横向位移之幅差；

n ——其中包括称为 1 号点的起始固定点的多边形导线顶点之数目；

m_p ——多边形导线缓圆段之长差。

当检校或添置圆和中误差曲率时，横向位移 m_q 为添置圆的一个半径，该半径是沿导线方向推算的。

例 1（諸誤圖 24）：如果实测边的中误差 $m_p=8.4$ 公尺，试求伸展多边形导线（该导线具有起始固定点和起始固定点的座标方位角）点 N_8 的横向位移 m_q 。

解：将直尺对准标尺 α 的分划 8 和标尺 m_p 的分划 8.4，即直尺及中间标尺之交点即为答案： $m_q=22.2$ 公尺。

例 2（諸誤圖 24）：如果实测边的中误差 $m_p=8.4$ 公尺，试求伸展多边形导线（该导线具有起始固定点，起始座标方位角和末端座标方位角）点 N_8 的横向位移 m_q 。

解：将直尺对准标尺 α 的分划 12 和标尺 m_p 的分划 8.4，即此直尺与中间标尺之交点即为答案： $m_q=28.9$ 公尺。

例 3（諸誤圖 25）：如果实测边的中误差 $m_p=8.4$ 公尺，试求伸展多边形导线（该导线具有 12 个节点和起始固定点，末端固定点 α ，以及起始座标方位角和末端座标方位角）点 N_8 的横向位移 m_q 。

解：将直尺 $e=8$ 与缓圆 $n=12$ 的交点引到标尺上，

再用直角游标卡尺与标尺 m_0 的分划 8.4 连接起来，则此直尺与标尺 m_0 之交点即为读数： $m_r = 13.4$ 公里。

諸誤圖 26，諸誤圖 26a，諸誤圖 26b，諸誤圖 27。

諸誤圖 28 和諾誤圖 29

多边形导线点误差椭圆的短半轴座标方位角、长半轴和短半轴之计算

将均方误差椭圆的中误差曲线作为以三角测量法和多边形导线衡量法所测得之边上的误差椭圆。角 φ （即误差椭圆短半轴的座标方位角）和椭圆的长半轴 A 以及短半轴 B 皆为计算均方误差椭圆之元素。角 φ 按下式计算：

$$t \cos^2 \varphi = \frac{\sin^2 1'' \sum R^2 m_p^2 \cos 2\varphi + \sum_{i=1}^{r-1} \sin(180^\circ + 2\varphi) m_i^2}{\sin^2 1'' \sum R^2 m_p^2 \sin 2\varphi + \sum_{i=1}^{r-1} \cos(180^\circ + 2\varphi) m_i^2} = \frac{v_x}{v_y},$$

误差椭圆的长半轴 A 和短半轴 B 由下式计算：

$$A^2 = \frac{1}{2} (M_1^2 + v),$$

$$B^2 = \frac{1}{2} (M_1^2 - v),$$

式中

$$M_1^2 = \sum_{i=1}^{r-1} m_i^2 + \sin^2 1'' \sum_{i=1}^r R^2 m_p^2 = \sum_{i=1}^{r-1} m_i^2 + \sum_{i=1}^r N^2,$$

而

$$\begin{aligned} v^2 &= \left\{ \sin^2 1'' \sum_{i=1}^{r-1} R^2 m_p^2 \cos 2\varphi + \sum_{i=1}^{r-1} \cos(180^\circ + 2\varphi) m_i^2 \right\}^2 \\ &+ \left\{ \sin^2 1'' \sum_{i=1}^r R^2 m_p^2 \sin 2\varphi + \sum_{i=1}^{r-1} \cos(180^\circ + 2\varphi) m_i^2 \right\}^2 = v_x^2 + v_y^2, \\ v_x &= \sum u_{x1} + \sum u_{x2}, \quad v_y = \sum u_{y1} + \sum u_{y2}. \end{aligned}$$

諸誤圖 26 是为按已知值 v_x 和 v_y （此值是利用辅助諸誤圖 26a 和諸誤圖 26b 計算出来的）計算误差椭圆短半轴的座标方位角 φ 之用。为了按諸誤圖 29 求出误差椭圆长半轴 A 和短半轴 B ，則应預先按諸誤圖 27 和諸誤圖 28 算出 v 值和 M_1^2 值来。

例：設有具有起始固定点和起始座标方位角的任意多边形导线。其实测角、边长和中误差均列入表 2 内。

求其在第 4 位数之误差大误差和最小误差，也就是误差椭圆的元素：椭圆短半轴的座标方位角 φ 和误差椭圆的长半轴 A 和短半轴 B 。

序号	边	m_p (米)	实测距离 S (米)	测杆分划角 α (度)	座标方位角 γ (度)	R (米)
1	187°12'28"	6.4	352.453	10.2	115.09.58	96.679
2	189.01.34	7.6	174.317	11.5	115.07.38	91.5.030
3	201.01.06	6.9	159.308	11.5	91.02.25	93.809
4	179.07.29	6.7	135.450	9.8	91.04.01	91.3.200
5	187.01.04	9.2	165.379	10.5	111.03.40	116.451

按表 2 中的座标方位角和边长利用垂线尺作一多边形，顶点编号为 1, 2, 3, 4, 5 和 6，其比例尺为 1:5000，于是以解方程求出各值

—多边形的每个相应点至点 6 的距离； r —每边的座标方位角。

解：利用輔助諸誤圖 26a 和 26b 求出 u_{x1} , u_{x2} , u_{y1} 和 u_{y2} ，按表 2 的已知值和諸誤圖 26a 可求出 u_{x3} 和 u_{x4} ，其值如表 3 所示。

表 3

R (米)	m_p (米)	γ (度)	u_{x1}	u_{x2}
678	6.4	96	-87	-47.0
350	7.6	91.5	-22	-4.0
405	6.9	83	+35	-102
240	6.2	91.5	-6	-45
152	9.2	115.0	-56	-28
			Σ_1	-111
				-1.01

按表 1 的已知值和諸誤圖 26b 求出 u_{x3} 和 u_{x4} ，原始数据和成果列于表 4 内。

表 4

m_p	γ (度)	m_p	u_{x3}
10.2	110		+91
10.2	115		+64
10.5	68		-79
9.8	66		-71
10.5	115		+35
		Σ_2	+35
			+327

由表 3 和表 4 中求得：

$$v_x = \sum u_{x1} + \sum u_{x3} = -105.3 + 327 = -73.6;$$

$$v_y = \sum u_{x2} + \sum u_{x4} = -111 + 95 = -16;$$

按求得的各值 $v_x = -73.6$ 和 $v_y = -16$ ，利用諸誤圖 26 可求出角 $\varphi = 90^\circ 40'$ 和误差椭圆短半轴的座标方位角数值。

利用諸誤圖 27 (公式 $v = \sqrt{v_x^2 + v_y^2}$) 求 v 和 v 值得：

$$v = 73.7.$$

按 $m_{x1} R$ 和 m_p 值利用諸誤圖 28 計算出单轴值 m_1^2 和 $N^2 = \sin^2 1''$

$$R^2 m_p^2 +$$

表 5

m_1^2	N^2
109	435
104	380
106	338
95	41
106	97

所求出各值列于表 5 内。

$$\text{由此 } M_1^2 = \sum m_1^2 + \sum N^2 = 1577 \text{ 平方公里}.$$

已求得的数值 M_1^2 和 v 的误差椭圆

之长半轴 A 和短半轴 B 可按諸誤圖 29 求之。为此，渐近线与误差椭圆的长半轴 M_1 的 1577，則渐近线与标尺 A ，

$$Z_1 = 516 \quad Z_2 = 505$$

$$Z_3 = 516 \quad Z_4 = 505$$

$$Z_5 = 516 \quad Z_6 = 505$$

$$J = \pm 24.0 \text{ 公里}, \quad B = \pm 20.5 \text{ 公里}.$$

諸誤圖 30

中误差椭圆向数值之计算

中误差椭圆不仅能确定点位的最大误差和最小误差，而且也能确定座标方位角的误差和任一方向的误差，其中也包括按座标轴确定的边长。

中误差椭圆以下式表示：

$$P^2 = A^2 \cos^2 \theta + B^2 \sin^2 \theta,$$

式中 ρ —— 斜线向径;
 θ —— 偏圆半径与斜线之间的角度。

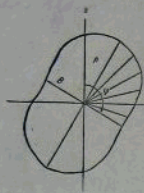


圖 1 中間差曲線向徑 P 的諸圓
是由七條標尺所組成的。兩
端的標尺為長半軸 A 值和短半
軸 B 值。根據中間標尺可求出 $\theta = 15^\circ, 30^\circ, 45^\circ, 60^\circ$ 和 75° 的 P 值。

例 按長半軸 $A = 35.3$ 公尺和短半軸 $B = 20.6$ 公尺，試求向徑值 ρ 和作出中間差曲線。

解 將直尺對應標尺 A 的分划 35.3 和標尺 B 的分划 20.6，則直尺與中間標尺的交點即為答數(表 6)。

按求得之 ρ 和已知值 θ 作出 中間差曲線(圖 1)。

諸圓圖 31 和諸圓圖 32

視距測量時高差的計算

視距測量的高差 a 按下式計算：

$$a = 0.5 \cdot \rho \sin 2\theta,$$

式中 ρ —— 視距即所測得的距離，以公尺計；
 θ —— 傾斜角。

計算時，為提高測量精度而制成了兩個諸圓圖。諸圓圖 31 是為計算傾斜角由 0° 至 6° 和距離由 20 公尺至 300 公尺的高差之用。

諸圓圖 32 是為計算傾斜角由 6° 至 25° 和距離由 10 公尺至 100 公尺的高差之用。在這個範圍內，確定高差之精度為 0.02 公尺；如距離過大時，則測定高差的精度之降低的倍數，是與距離 d 增大的倍數相同。

例(諸圓圖 31) 已知 $\rho = 128.4$ ，傾斜角 $\theta = +3^\circ 22'$ ，試求其高差。

解 將直尺只對應標尺 ρ 的分划 128.4 和標尺 θ 的分划 $3^\circ 22'$ 同直尺與中間標尺之交點即為答數：

$$a = 7.53 \text{ 公尺}.$$

諸圓圖 32 的用法與諸圓圖 31 的用法相似，待詳諸圓圖上的用法示意图和实例即可了解。

諸圓圖 33

按測量的水平投影計算高差

本諸圓圖是為按下式計算高差之用。

$$h = d \cdot g \cdot \rho,$$

此時測量的水平距離 d 和傾斜角 ρ 均為已知。

本諸圓圖改換了高差的原比例尺，因為原比例尺由於無數光線有時迅速進行擴散。

此諸圓圖是由三條標尺組成的。左直尺為傾斜角 ρ ，右直尺為距離 d 由 0 至 200 公尺，其間隔為 1 公尺，高差 h 可據中間標尺求出，其精度達 0.1 公尺。

例 已知 $d = 125.5$ 公尺， $\rho = +10^\circ 15'$ ，試求其高差 h 。

解 將直尺對應標尺 d 的 125.5 公尺與標尺 ρ 的 $10^\circ 15'$ 連接起來，則此直尺與標尺 h 的交點即為求得之高差 $h = +22.7$ 公尺。

諸圓圖 34

高差的地球曲率和折光之改正計算

當用斜側視鏡進行地面的水準測量時，如果視距測量和平板仪測量距離大于 300 公尺的話，則高差的地球曲率與折光之改正數 f 可按下式求之：

$$f = \frac{1 - K}{2R} S^2,$$

式中 K —— 地面折光系數，此系數值常采用 0.14；

R —— 地球半徑，等於 6371 公里；

S —— 列視測點的距離。

本諸圓圖由四條雙邊直尺組成，可作為計算距離達 10 公里的地球曲率和折光之改正計算之用。

例 開闢兩測點間的距離等於 1550 公尺，試求高差的地球曲率和折光之改正數。

解 在標尺 S 上查出分划 1550，于是在標尺 f 上與該數相對處讀得答數： $f = -0.162$ 公尺。

諸圓圖 35

高程測量網容許閉合差和井深測量誤差之計算

按下式計算高程測量網的容許閉合差：

工程水準測量的容許閉合差為：

$$\Delta h = \pm (20\sqrt{L} + 2L),$$

高程測量網往返測量兩次的高差之不等值不應超過：

$$\Delta h = \pm 30\sqrt{L},$$

為進行礦山測量及敷設高程測量網，在高程的水準基點之間單向測量的閉合差不應超過下列數值：

$$\Delta h = \pm 10\sqrt{L} + 1.6L,$$

往返測量兩次的高差之不等值不應超過：

$$\Delta h = \pm 15\sqrt{L},$$

上述公式中的 L —— 線段長度，以公里計； Δh —— 閉合差，以公厘計。

當測量井深時，兩次測量取得的差數不得超過：

$$\Delta H = 0.01 + 0.0002H,$$

式中 H —— 井筒深度，以公尺計。

例 1 在水準基點間敷設一工程水準測量的高程測量網，網長 10.2 公里，試求容許閉合差 Δh 。

解 在雙邊標尺 $\Delta h = \pm (20\sqrt{L} + 2L)$ 的右側查出分划 10.2，而按同一標尺的左側讀得答數： $\Delta h = 84$ 公厘。

例 2 井深 $H = 653$ 公尺，試求兩次測量井深的容許不等值。

解 在双边標尺 ΔH 的左側查出分划 653，于是在同一標尺的右側求得容許不等值 $\Delta H = 0.141$ 公尺。

諸圓圖 36

垂線投射點之角度誤差計算

當在一个營地進行縱橫測量時，垂線投射點之角度誤差按下式計算：

$$\Delta \alpha' = \pm \frac{\rho'^2 \rho}{\rho} = 208 \cdot \frac{\rho'}{\rho},$$

式中 ρ —— 垂線投射點之長度距離，以公頃計。

ρ ——垂线之间的距离，以公尺计。

股方向 c 为垂线方向的偶然方向。

$$\rho'' = 206265.$$

例 该通过一个竖井定向时，两次垂线之间的距离 $c=4.2$ 公尺，校点长度误差 $e=1.5$ 公厘。试求垂线校点的角度误差。

解 将直尺对准标尺 c 的分划 1.5 和标尺 c 的分划 4.2，直尺与标尺 M 的交点，即为答数： $M=+1'14''$ 。

諸圖 37 和諸圖 37a

通过一个竖井定向时，由于联系三角形的角度测量及边长丈量所引起的 α 和 β 的角误差之计算（计算时按正弦公式）

按正弦公式求的垂线 α 和 β 角度的误差可按下式计算：

$$m_{\alpha} = \left(\frac{\tan \alpha}{\sin \alpha} m_c \right)^2 + \left(\operatorname{tg} \alpha \rho'' \frac{m_c}{a} \right)^2 + \left(\operatorname{tg} \alpha \rho'' \frac{m_c}{c} \right)^2,$$

$$m_{\beta} = \left(\frac{\tan \beta}{\sin \beta} m_c \right)^2 + \left(\operatorname{tg} \beta \rho'' \frac{m_c}{b} \right)^2 + \left(\operatorname{tg} \beta \rho'' \frac{m_c}{c} \right)^2,$$

式中 m_c ——角度误差；

m_a, m_b, m_c ——联系三角形各边长度的丈量误差。

为使 α 和 β 两角误差会合于隅角，将其化为如下形式：

$$m_{\alpha} = \pm \operatorname{tg} \alpha \sqrt{A_1 + C_1};$$

$$m_{\beta} = \pm \operatorname{tg} \beta \sqrt{B_1 + C_1};$$

式中

$$A_1 = \rho''^2 \left[\left(\frac{m_a}{a} \right)^2 + \left(\frac{m_c}{c} \right)^2 \right]$$

$$B_1 = \rho''^2 \left[\left(\frac{m_b}{b} \right)^2 + \left(\frac{m_c}{c} \right)^2 \right]$$

$$C_1 = \frac{m_c^2}{\tan^2 \rho''}$$

诸图 37 是为了按各边的相对误差 $\frac{m_a}{a}, \frac{m_b}{b}, \frac{m_c}{c}$ 和角 ρ'' 的误差 m_c ，以及联系三角形的边长 a, b, c 计算辅助值 A_1, B_1, C_1 之用。

按图 37 可根据辅助值 A_1, B_1, C_1 和角度 α 及 β 算出联系三角形之二垂线的 α 和 β 两角误差，被角 ρ'' 为 180° 的补角。

例 通过一个竖井定向时，如利用联系三角形与垂线连通的话，那就联系三角形边长 a, b, c 测量的相对误差：

$$\frac{m_a}{a} = \frac{1}{56000}, \quad \frac{m_b}{b} = \frac{1}{66000}, \quad \frac{m_c}{c} = \frac{1}{36000}.$$

角 $\rho'' = 9^\circ 20' 00''$ 误差 $m_c = 15''$ 。试求按正弦公式算出的 α 和 β 两角误差。

解 利用诸图 37，直尺对准标尺 c 的分划 1'300 和标尺 c 的分划 1'300，直尺与标尺 a 的交点即为辅助值 $A_1=6430$ 。

利用同一诸图的右边部分，被交数 $\rho'' = 9^\circ 20' 00''$ 和 $m_c = 6''$ ，求得辅助值 $C_1=1600$ 。

按图 37，求出 m_{α} 值，为此，将直尺对准标尺 a 的分划 14'25'0" 和标尺 $a+C_1=8030$ ，于是答数标尺 m_{α} 求得 $m_{\alpha}=+23'0.0$ 。

同理，按图 37 可求得 β 角的误差 m_{β} 。

諸圖 38

通过一个竖井定向时，由于量长而引起的联系三角形和 β 角度误差之计算（计算时按边长公式）*

* 本图测图作为取向而不大的误差非适宜时的制图应用。

用边长公式求的垂线 α 和 β 角度的误差可按下式计算：

$$m_{\alpha} = \pm \frac{m_c \rho'}{c \sin \beta} \sqrt{1 + \cos^2 \beta + \cos^2 \gamma};$$

$$m_{\beta} = \pm \frac{m_c \rho'}{c \sin \alpha} \sqrt{1 + \cos^2 \alpha + \cos^2 \gamma},$$

式中 α, β, γ ——联系三角形之角；

ρ' ——垂线之间的距离；

m_c ——三角形边长测量之误差，以公厘计。

本图测图由附标尺 c 和 b 以及平行的对数标尺 c, m_1 和 m_2 所组成。

例 按边长公式算出的联系三角形之角度为： $\alpha=66^\circ 24'48''$ ， $\beta=69^\circ 25'02''$ 和 $74^\circ 10'17''$ ；边长 a, b, c 之误差各为： $m_a=0.5$ 公厘；边长 $c=2.0610$ 公尺。试求所计算的角度 α 和 β 的误差 m_{α} 和 m_{β} 。

解 将直尺 $\rho'=44'10''$ 与垂线 $\rho=66^\circ 25'$ 之交点引到标尺 I ，并用直尺将垂线的点与标尺 m_1 的 0.5 连接起来。然后再将一直尺与无刻度标尺 J 之交点引到直尺和标尺 c 的 2.061 连接起来，则该直尺的延长线与标尺 m_2 之交点即为答数： $m_{\beta}=\pm 70.6''$ 。

諸圖 39

按联乘四边形法作垂线与定向基点之连接测量时， P_1, P_2 点的座标方位角误差之计算。

通过一个竖井定向时，可利用联乘四边形法使地面定向基点与垂线连接和使定向水平的永久导线结于所引之点连接。

P_1, P_2 边座标方位角误差可按下式计算：

$$M''_{(P_1 P_2)} = \frac{J_1 P_2 m_p}{AB} \sqrt{\frac{1}{2} (\rho_2 + \rho_1)},$$

式中 m_p'' ——实测角之中误差；

\overline{AB} ——垂线间的距离；

$\overline{P_1 P_2}$ —— P_1 和 P_2 之间的距离；

ρ_1, ρ_2 ——用本图上所引用的前方交会误差表所计算出来的数值。

在透明纸上将该透明纸贴在所“引用”的前方交会误差表上，取 P_1, P_2 基线上的点 P_1 和 P_2 作为端点，按图边形 A, P_1, P_2 上的角度实测值构成一四边形 AP_1P_2A ，按图表示出 A 点和 B 点的 ρ_1 和 ρ_2 值以及求出用附有公厘刻度的尺所量出的 AB 距离。

求得数值的数值 $\rho_1, \rho_2, AB, \overline{P_1 P_2}$ 和 $\overline{P_1 P_2}$ 边座标方位角之误差 $M''_{(P_1 P_2)}$ 。

例 当按联乘四边形法解决连接测量问题时， P_1 和 P_2 点应佈置在 A 和 B 互连方向的两边。 P_1 点的实测角为： $\rho_1=57^\circ 30'$ ， $\rho_2=38^\circ 10'$ ； P_2 点的实测角为： $\rho_2=76^\circ 20'$ 和 $\rho_1=50^\circ 10'$ ；角的中误差 $M_{\rho}=\pm 10''$ ，试求 $\overline{P_1 P_2}$ 边座标方位角的误差。

解 将透明纸贴在测表上，取测表之南端作为 P_1 和 P_2 点，测表已知的角度值 ρ_1, ρ_2 和 ρ_1, ρ_2 裁成一四边形 AP_1P_2A ，于是从测表中查出 A 点和 B 点的数字，其值分别为 $\rho_1=2.5$ 和 $\rho_2=2.8$ 。用公厘尺量出 AB 和 $\overline{P_1 P_2}$ 之值： $AB=46$ 公厘和 $\overline{P_1 P_2}=19$ 公厘。然后，利用诸图测图求直尺 $\rho_1=2.5$ 与曲尺 $\rho_2=2.8$ 的交点引到标尺 I ，并且求得直尺与标尺 I 的分划 46 直接连接起来。再将前一直尺与无刻度标尺 J 的交点仍用直尺与标尺 P_1, P_2 的分划 19 连接起来。即在直尺与无刻度标尺 J 之相交处得出一点，并将该点与标尺 P_1, P_2 的分划 8'“连接起来，此直尺与标尺 $M''_{(P_1 P_2)}$ 的交点即为答数：

$$M''_{(P_1 P_2)} = \pm 8''.7.$$

諾謨圖 40 和諾謨圖 41

測量井深鋼尺由於自重和荷重而伸長之計算

用長鋼尺測量井深時，應在測量結果中加入鋼尺自重伸長改正數，此改正數可按下列式計算：

$$\Delta L_1 = \frac{10^7}{E} L \left(L - \frac{L}{2} \right)$$

鋼尺荷重伸長改正數按下列式計算：

$$\Delta L_2 = \frac{E(Q + Q_s)}{E + F}$$

式中 L ——鋼尺之長度，等於 7.8；

L ——需要計算改正數的一段鋼尺之長度，以公尺計；

E ——楊氏系數（彈性系數——較訂者），等於 2 000 000 公方/平方公里；

L' ——鋼尺自重部分的長度（由地面點垂直到掛錘的地方止），以公尺計；

Q ——錘重，以公斤計；

Q_s ——鋼尺比長時所加的拉力或錘重，以公斤計；

F ——鋼尺的截面積，以平方公里計；

改正數 ΔL_1 和 ΔL_2 ，以公釐計。

例 1（諾謨圖 40）：若由自重部分的鋼尺長度等於 450 公尺，而需要計算改正數的一段鋼尺長度 L 等於 250 公尺。試求鋼尺自重而伸長之改正數 ΔL_1 。

解 將直尺 $L' = 450$ 與曲尺 $L = 250$ 的交點按水平線引到標尺 ΔL_1 ，於是讀得答案： $\Delta L_1 = +32$ 公釐。

改正數 ΔL_2 未作正確解答。

例 2（諾謨圖 41）：如需計算改正數的一段鋼尺長度 L 等於 250 公尺，測量和比長時鋼尺荷重的差 $Q - Q_s$ 等於 $+3.6$ 公斤和 -5.8 公斤。試求鋼尺荷重伸長改正數 ΔL_2 。

解 需直尺與標尺 L 的分划 250 和標尺 $Q - Q_s$ 的分划 3.6，再將直尺與標尺的交點用直線和標尺 F 的分划 5.8 連接起來，則直線與標尺 ΔL_2 的交點即為答案： $\Delta L_2 = +7.8$ 公釐。

ΔL_2 的符號由 $Q - Q_s$ 的差數符號定。

諾謨圖 42

用偏心錶傾角測量直角之改正計算

在僅有視距和斜距之測量而不考慮高差的情況下，用偏心錶傾角測量直角（這在傾斜巷道中是常有的事），可根據下列式子對實際直角而加入改正數：

$$\delta r = \frac{1}{4} r'' \sin 2\alpha \frac{\theta^2}{\sin^2 \theta}$$

式中 r ——斜角；

r'' ——望遠鏡中心距離；

α ——由儀器至視距點的水平距離，以公尺計。

實測直角的改正數 δr 永遠為負值。

例 用偏心錶傾角測量直角 $\beta = 18^\circ 35'$ 。望遠鏡的偏心距 $r = 8.4$ 公分，由儀器到視距點之間的距離為 6.7 公尺。試求實測直角的改正數 δr 。

解 將直尺與標尺 L 的分划 8.4 和標尺 5 的分划 6.7 公尺，

然後將直尺與標尺的交點用直線與標尺 F 的分划 $18^\circ 35'$ 連接起來，則直線與標尺 δr 之交點即為答案： $\delta r = -4'', 9$ 。

諾謨圖 43

煤層厚度之計算

按直尺的垂直進行測量有礦石層的厚度，稱為厚度 m 。根據直尺的方向，煤層厚度可按直尺標尺 m_0 或按與岩層走向直角的

水平方向測量 m 。

厚度 m 可用下列式計算：

$$m = m_0 \cos \delta$$

或

$$m = m_0 \sin \delta$$

式中 δ ——煤層傾斜角。

例 在井下巷道內測得垂直厚度為 $m_0 = 3.5$ 公尺，煤層傾斜角 $\delta = 32^\circ$ 。試求煤層厚度。

解 將直尺對准標尺 δ 的分划 32° 和標尺 m_0 的垂直厚度 3.5，則直尺與標尺 m 的交點即為答案 $m = 3.22$ 公尺。

諾謨圖 44

用求积仪测面积的误差计算

為了計算以求积仪测定面积的中误差，可用恩·海·沃尔科夫教授所求出公式：

$$m = 0.68 + 0.023 \sqrt{n}$$

式中 n ——求积仪分划上的面积误差。

n ——求积仪的分划数。

例 用求积仪求曲线轮廓面积，在求积仪的分划上 $n = 1520$ 。試求求积仪分划上的中误差 m 。

解 在标尺 m 上，与标尺 n 的分划 1520 之相对处得答案 $m = 1.77$ ，該值相當于面积的 $1/999$ 。

諾謨圖 45

在与煤层走向成斜交的建筑物之下面留保安煤柱

时移动角 β 和 γ 之計算

为了保护伸長形的建築物， β 和 γ 的角度值可按下列式計算：

$$\operatorname{ctg} \beta = \sqrt{\operatorname{ctg}^2 \beta \cos^2 \alpha + \operatorname{ctg}^2 \alpha \sin^2 \alpha}$$

表 7

煤田 类别	煤田 类型	由仪器观测运动煤田中的典型 煤田	基本沿带中的煤带值
I	I	位于冲积洪积沙层水带地帶的 煤田，莫斯特正常煤田	55°
	II	基底煤田，齐奥尔基煤田	$\beta = 65^\circ$ $\alpha = 10$ 至 15° 時， $\beta = 70^\circ$ 至 75° $\alpha = 20$ 至 25° 時， $\beta = 70^\circ$ 至 85° $\alpha = 30$ 至 35° 時， $\beta = 70^\circ$ 至 95° $\alpha > 35^\circ$ 時， $\beta = 70^\circ$ 至 105°
II	I	卡拉西諾煤田	$\beta = 70^\circ$ 至 75° ，但是不小于 55° $\alpha = 10$ 至 15° 時
	II+	齐奥爾諾大煤田，库兹巴斯煤田 库尔斯克丘陵煤田	$\beta = 70^\circ$ 至 75° ，但是不小于 55° $\alpha = 10$ 至 15° 時
III	I	没有良好调查的煤田	在烟灰角 α 为任一值时， $\beta = 65^\circ$ $\alpha = 10$ 至 15° 時， $\beta = 70^\circ$ $\alpha = 20$ 至 25° 時， $\beta = 75^\circ$ $\alpha = 30$ 至 35° 時， $\beta = 80^\circ$ $\alpha > 35^\circ$ 時， $\beta = 85^\circ$ 至 90° ，但是 不小于 75°
	III+	佩巴斯	在烟灰角 α 为任一值时， $\beta = 65^\circ$ $\alpha = 10$ 至 15° 時， $\beta = 70^\circ$ $\alpha = 20$ 至 25° 時， $\beta = 75^\circ$ $\alpha = 30$ 至 35° 時， $\beta = 80^\circ$ $\alpha > 35^\circ$ 時， $\beta = 85^\circ$ 至 90° ，但是 不小于 75°

附註：

1. 如果是山地煤田的背景煤设计，用通常使用的百分差系数对计算值进行修正。

2. 在采空区边缘由直角 $\alpha = 45^\circ$ 时，其 $\beta = 75^\circ$ ，但若带带界线 $\alpha = 45^\circ$ 的直角被削去。

$$\operatorname{ctg}^2 \gamma = \sqrt{\operatorname{ctg}^2 \beta \cos^2 \theta + \operatorname{ctg}^2 \theta \sin^2 \theta},$$

式中 β 和 γ ——与煤层倾斜角有关的移动角;

θ ——走向线与受护地物边界线之间的锐角。

例 位于粗已勘探田上的建筑物，其受护地物的轴线与煤层走向线所成的角度 $\theta=45^\circ$ ，倾斜角 $\alpha=50^\circ$ 。

试求沿煤柱上部边界的移动角度 β' 和沿煤柱下部边界的移动角度 γ' 。

解 根据表 7，按倾斜角 $\alpha=50^\circ$ 求得 $\beta=40^\circ$, $\gamma=85^\circ$ 和 $\beta=85^\circ$ 。

根据所求得的各角 β , γ 和已知角 θ ，按该图需求 β' ，为此，将直尺对准标尺 β 的 40° 和标尺 γ 的 85° ，直尺对直径 $\theta=45^\circ$ 之交点即为答案 $\beta'=49^\circ 30'$ 。

依此类推，按另一图需求再求出 γ' 角。

諸圖圖 46 和 諸圖圖 47

由受护地物角点起至煤柱的上部边界和煤柱的下

部边界止的垂线长度之计算

在平面上由受护地物的角点起至煤柱的边界止，按煤层埋藏深度 $H=1$ ，以下式计算垂线的长度值：

$$l_1 = \frac{\operatorname{ctg} \beta}{1 + \operatorname{ctg} \beta \cos \theta \operatorname{tgc} \alpha};$$

$$l_2 = \frac{\operatorname{ctg} \gamma'}{1 + \operatorname{ctg} \gamma' \cos \theta \operatorname{tgc} \alpha},$$

式中 θ ——受护地物与煤层走向线间之锐角;

α ——煤层倾斜角;

β 和 γ' ——按该图圆 45 求移动角。

对某一点的煤层的埋藏深度 H 而言，垂线长度等于：

$$q = l_1 H;$$

$$l = l_2 H.$$

例 今有一北顿巴斯铁路，是以 $\theta=35^\circ$ 的角度与煤层走向成斜交。试于此铁路下留一保安煤柱，煤柱倾角 $\alpha=42^\circ$ 。 β 和 γ' 两角按该图 45 求得其值分别为 $\beta=48^\circ 30'$ 和 $\gamma'=85^\circ$ 。深度 $H=150$ 公尺。

解 求 q (諸圖圖 47)。将直尺对准标尺 α 的 42° 和标尺 β 的 $48^\circ 30'$ ，则此直尺与直尺 $\theta=35^\circ$ 的交点即为答案：

$$l_1 = 0.543,$$

求 l_2 (諸圖圖 48)。将直尺对准标尺 α 的 42° 和直尺 $\theta=35^\circ$ 与 $\gamma'=85^\circ$ 的交点，則此直尺与标尺 β 的交点即为答案：

$$l_2 = 0.043.$$

对于 $H=150$ 公尺的水平线，则：

$$q = l_1 H = 2.715;$$

$$l = l_2 H = 13.95.$$

参 考 文 献

恩·阿·格拉戈列夫著：圖解法教程(1943年莫斯科版)。

恩·阿·格拉戈列夫著：圖解法原理(1935年联合科学技术出版社)。

恩·阿·格拉戈列夫著：圖解法手册(1937年联合科学技术出版社)。

恩·维·格拉戈列夫著：工程图解法的原理和图解(1932年国家技术理论出版社)。

奥·法·菲尔莫洛娃和德·伊·彼得波尔金合著：圖解法教科书(1935年重工业人民委员会出版)。

布·阿·涅夫斯基著：詳讀圖解法取法(1937年联合科学技术出版社)。

格·什维德斯基著：几何投影圖解法(1935年国立乌克兰科学院技术出版社)。

伊·恩·托尼秀奇著：詳讀圖解法(1934年重工业人民委员会出版)。

海·沃·普特列夫斯基著：圖解法(1940年国家技术出版社)。

布·列·涅夫斯基著：圖解法多套(1935年国家技术出版社)。

附圖1 根據三角測量標的高度進行兩三角點之間的相互通視計算

